ГЕОЛОГИЯ И ИЗОТОПНАЯ ДАТИРОВКА ЦАВСКОГО ИНТРУЗИВНОГО КОМПЛЕКСА

(Южная Армения, Капанский террейн)

© 2016г. Р.Л. Мелконян, С.-Л. Чунг * , Р.Х. Гукасян, К.Л. Галоян, Р.А. Хоренян, Л.С. Атаян

Институт геологических наук НАН РА, 0019, Ереван, пр. Маршала Баграмяна 24a, Республика Армения E-mail: <u>ramelk@sci.am</u> *Department of Geosciences, National Taiwan University, Roosevelt Road, Taipei 106, Taiwan Поступила в редакцию 01.07.2016 г.

Рассмотрены вопросы геологии и изотопной датировки, наиболее крупного (~65 кв. км) в пределах Капанского террейна (Южная Армения) Цавского интрузивного комплекса. Установлено его трехфазовое строение: І фаза — плагиоклаз-пироксенроговообманковые габбро, габбро-диориты, диориты, монцодиориты, монцониты; ІІ фаза — плагиоклаз-биотит-роговообманковые гранодиориты и граниты; ІІІ фаза — лейкократовые граниты. Изотопные его датировки — U-Pb (LA-ICP-MS) — І фаза — 131.4±1.4 Ма, ІІ фаза — 129.5±1.7 Ма, ІІІ фаза — 131.4±1.8 Ма, Rb-Sr единая изохрона ІІ и ІІІ фаз — 118.4±1.9 Ма, МSWD=1.08, ⁸⁷/⁸⁶Sr;=0.70375±0.00011 свидетельствуют о его нижнемеловом возрасте и отсутствии ранее выделяемых, на основании K-Ar датировок, разностей эоценового возраста.

Цавский массив и Кохб-Шнохский интрузивный комплекс (в пределах северной части Сомхето-Карабахского террейна) с U-Pb возрастом 152±5 Ма (тоналиты и кварцевые диориты I фазы), 153±5 Ма (лейкократовые розовые граниты II фазы), как правило, рассматриваемые как однотипные и одновозрастные образования, сформированы в различных временны и кинтервалах, соответственно — раннемеловом и позднеюрском (с разницей ~23 Ма) в пределах самостоятельных геологотектонических структур — Капанской и Сомхето-Карабахской и характеризуются определенной спецификой своего вещественного состава.

Цавский массив является наиболее крупным интрузивным комплексом в пределах Капанского террейна, вопросы геологии, датировки, вещественного состава которого с различной детальностью были рассмотрены ранее в работах многих исследователей (Асланян, 1958; Ачикгезян и др., 1987; Багдасарян и др., 1970; Баласанян, 1963; Бурштейн и др., 1987; Грушевой, 1941; Казарян, 1966; Магакьян, 1954; Малхасян, 1957; Мелконян, Хоренян, 1981; Мирошникова и др., 1976; Мкртчян, 1958; Паффенгольц, 1970; Соловкин, 1952; Меderer et al., 2013 и др.). При этом нередко взаимоисключающие представления о возрасте, изотопной датировке, фазности, вещественном составе интрузива, имеющие в основном более чем полувековую историю, сохраняются до настоящего времени. Между тем решение этих вопросов имеет важное значение для расшифровки геотектонической позиции и истории геодинамического развития региона.

Целью представленной работы является обсуждение отмеченных вопросов с учетом новых данных, полученных за последние годы и современных методических подходов.

Геология и вещественный состав интрузива

Цавский массив находится в Южной Армении в пределах ЮВ оконечности Капанского террейна, будучи приурочен к Шикаох-Карентакской и Шишкертской антиклинальным структурам (Акопян, 1962). Он представляет собой массив, площадью ~65 кв. км вытянутый в близширотном направлении на расстоянии ~20 км, контролируемый в целом близширотным Анд-Шишкертским разломом (Мелконян, Хоренян, 1981). Интрузив протягивается по долинам и склонам рр. Цав и Хачингет, на западе начиная на расстоянии 1.5 км к В от с. Шишкерт, до сс. Дицмайри и Собу на востоке (юго-восточнее с. Арцахамайр), где он представлен в виде отдельных изолированных выходов площадью 5-6кв.км. По результатам сейсмических исследований интрузив имеет форму крутопадающего пласта близширотного простирания с общим северным падением под углом 60-80° (Мирошникова и др., 1976).

Согласно (Акопян, 1962; Асланян, 1958; Ачикгезян и др., 1987 и др.) в стратиграфическом разрезе района участвуют (снизу-вверх) среднеюрские вулканогенные, вулканогенно-обломочные, туфуоосадочные отложения, представленные лавами, гиалокластитами базальтовых андезитов, андезитов, туфами и игнимбритами андезито-дацитов (мощн. □1500 м), несогласно перекрывающимися наиболее широко распространенными верхнеюрско-нижнемеловыми образованиями – туфами и лавами базальтовых андезитов, гиалокластитов, реоигнимбритов с линзами и пачками песчаников и известняков (мощн. ~4400 м), которые несогласно сменяются палеогеновыми туфами и лавами базальтовых андезитов, туфами и игнимбритами андезитодацитов (мощн. ~600 м). Подошва низов среднеюрского разреза не обнажается, а скважина, заданная в районе слияния рек Охчи и Каварт в рамках программы объемного исследования Капанского рудного поля, согласно Г.А. Туманяну (1987), не пересекла подошву этой толщи и на глубине 680 м вошла в интрузив плагиогранитного состава.

Цавский интрузив прорывает верхнеюрско-нижнемеловые (верхнетитонсредневаланжинские) разнотипные, разнофациальные вулканиты (мощн. ~2500 м), представленные (снизу-вверх) кристалло-литокристаллокластическими туфами андезитобазальтов, брекчиевыми лавами, гиалокластами, массивными миндалекаменными лавами того же состава, туфами, игнимбритами, реоигнимбритами, риодацитами (Ачикгезян и др., 1987). Верхняя возрастная граница массива остается неопределенной, ввиду отсутствия перекрывающих интрузив образований.

Впервые вопрос о возрасте Цавского интрузива был рассмотрен В.Г.Грушевым, который исходя из его территориальной близости к Мегринскому плутону и, учитывая прорывание плутоном эоценовых образований, возраст Цавского массива датировал эоценом-нижним миоценом (Грушевой, 1941). По представлениям К.Н.Паффенгольца рассматриваемый район находится на юго-восточном окончании Армянской тектонической зоны, в области ее погружения, и поскольку восточнее в складчатости участвуют меловые и эоценовые отложения, возраст интрузива он считал третичным (Паффенгольц, 1970).

Мнение о мезозойском (предсеноманском) возрасте массива впервые было высказано (Магакьян, 1954) на основании его схожести по петрографическому

составу и характеру металлогении с Кохбским интрузивом предсеноманского возраста. В дальнейшем послеюрский-досеноманский возраст интрузива обосновывался, учитывая находки в сеноманских отложениях левобережья р. Вохчи галек интрузивных пород аналогичных соответствующим коренным выходам интрузива "... в районе сс. Собу, Тарнаут и ниже с. Раздара" (Соловкин, 1952). Однако отсутствие сравнительного сопоставления вещественного состава и петрографии этих галек и соответствующих пород интрузива, как и сам принцип такого решения вопроса о возрасте, не позволяет принять это мнение в качестве однозначного доказательства верхней возрастной границы его формирования.

Цавский интрузив, согласно Г.Т. Тер-Месропяну (Асланян, 1958, с. 211), сложен породами двух фаз, что в дальнейшем отмечалось всеми исследователями, затрагивающими в той или иной степени вопросы интрузивного магматизма Капанского антиклинория. При этом среди пород I фазы были выделены гранодиориты, кварцевые диориты, кварцевые сиениты, сиенито-диориты, диориты, связанные между собой постепенными переходами при преобладании кварцевых диоритов и диоритов. Различными авторами (Баласанян, 1963; Казарян, 1966; Мкртчян, 1958; Паффенгольц, 1970) в составе массива отмечался в основном однотипный набор пород: для I фазы - пироксен-роговообманковые габбро, габбро-диориты, диориты, кварцевые диориты, гранодиориты; для II фазы – биотит-роговообманковые граниты (так называемые розовые граниты), плагиограниты, реже – гранодиориты. В восточной части интрузива отмечалось присутствие кварцевых сиенитов, сиенитов, сиенито-аплитов, сиенито-диоритов (Паффенгольц, 1970). С другой стороны кварцевые и бескварцевые сиениты указывались среди пород II фазы интрузива (Багдасарян и др., 1970). Довольно детальное петрографическое описание пород различных фаз, приведенное в вышеотмеченных работах позволяет нам специально не останавливаться на этом вопросе.

Взаимоотношение пород I и II фаз достаточно отчетливое – породы II фазы неоднократно (вдоль дорог с.Срашен – с.Цав – с.Шишкерт, с.Срашен – с.Дицмайри – с.Вордуак) прорывают разнотипные породы I фазы. Небольшие (до 25см) переработанные, калишпатизированные ксенолиты последних нередко встречаются в породах II фазы, а в 1.3 км к СВ от с. Цав, на дороге в с. Срашен среди розовых гранитов II фазы наблюдаются крупные (5м х 2м, 3м х 1.5м), измененные ксенолиты диоритов I фазы.

Примерно в 5 км к 3 от с. Цав, по правому борту дороги с. Цав — с. Шишкерт, на протяжении \sim 2 км, с небольшими перерывами, обнажаются плотные, различных оттенков светлофиолетового цвета, равномернозернистые граниты и кварцевые монцониты, которые резко отличаются от пород I и II фаз. В их минеральном составе участвуют — плагиоклаз (33 \div 65%), K-Na полевой шпат (15 \div 32%), кварц (15 \div 30%). Характерны микрографические взаимоотношения кварца и K-Na полевого шпата. В отличие от пород I и II фаз, это отчетливо выраженные лейкократовые породы, в них почти полностью отсутствуют цветные минералы, а в случае наличия их единичных зерен они полностью хлоритизированы. Акцессории — рудный минерал, сфен,

циркон; вторичные минералы – карбонат, серицит, хлорит, эпидот, пелитовое вещество. Геологические взаимоотношения рассматриваемых образований с породами I и II фаз не выявлены, однако учитывая их четкие различия по цвету, текстуре, минеральному составу, они рассматриваются нами в качестве пород самостоятельной – III фазы.

Дайковые образования в интрузивном комплексе пользуются ограниченным распространением. Они представлены аплитами (мощн. до 10см, простирание близширотное, пад. на С, \geq 30-40°), гранодиорит – и гранитпорфирами, которые развиты в основном в породах ІІ фазы. Дайки диоритпорфиритов (мощн. до 10м, прост. близмеридиональные, пад. СВ, \geq 50-70°) и диабазовых порфиритов (мощн. до 1.2 м, прост. 340-350°, пад. ЮЗ, \geq 60-70°), в отличие от аплитов и гранитпорфиров, прослеживаются до 100-150 м и прорывают также вмещающие интрузив вулканиты.

Особенности распределения и поведения главных элементов в породах различных фаз интрузива рассмотрены на основании новых 31 анализа из коллекции Р.Л.Мелконяна (табл. 1), выполненных в химической лаборатории ИГН НАН РА (аналитики: Б.Талиашвили, А.Назарян).

Таблица 1 Содержание главных элементов в породах различных фаз Навского интрузива

,	Содеј	ржан.	иетт	іавны.	х эл	емен	TOR B	порс	эдах ј	разли	чных	. фаз	цавс	KOI O	интру	узива
NN n/n	1	2	3	4	5	6	7	8	9	10	11	12	13	14	15	16
Обра- зец	6851	2195	6843	2194	6846	2075	2111	2102	2100	2205	2929	2080	2208	2072	6853	6841
SiO ₂	49,67	50,00	50,94	51,52	52,23	52,78	55,01	55,06	58,02	58,44	63,40	57,26	64,00	68,02	68,16	68,94
TiO ₂	0,61	0,99	0,62	1,08	0,62	0,78	1,08	1,01	1,20	1,65	0,74	0,78	0,71	0,39	0,35	0,45
Al ₂ O ₃	18,22	18,99	19,81	15,37	19,44	17,51	18,05	16,32	17,67	16,89	15,78	18,00	16,89	16,19	17,32	15,37
Fe ₂ O ₃	2,42	2,61	1,84	4,09	2,08	3,73	3,00	4,73	4,21	2,23	2,67	3,20	2,57	1,00	0,88	1,72
FeO	5,04	5,39	4,48	5,39	3,36	4,96	5,88	4,03	2,88	5,45	3,40	3,08	2,55	2,52	3,36	2,24
MnO	0,18	0,21	0,11	0,20	0,12	0,09	0,09	0,36	0,30	0,18	0,16	0,46	0,07	0,45	0,07	0,09
MgO	8,46	5,00	5,21	7,58	6,19	3,96	3,30	4,28	1,55	2,79	1,93	3,10	1,14	1,24	0,41	0,98
CaO	8,95	9,38	10,01	8,06	9,18	8,47	7,08	7,15	4,69	4,69	2,73	6,79	4,03	2,04	1,61	1,75
Na ₂ O	3,30	3,80	3,40	3,50	3,20	3,30	3,80	4,70	4,40	4,70	6,00	3,80	4,70	4,30	4,40	4,70
K ₂ O	0,80	1,30	1,00	1,00	1,50	1,60	1,90	1,10	2,50	2,50	1,70	2,20	2,70	2,90	3,10	3,00
CO_2	1,41	не обн.	1,93	не обн.	1,40	не обн.	не обн.	не обн.	не обн.	не обн.	не обн.	не обн.				
H ₂ O	0,23	0,07	0,14	0,08	0,12	0,20	0,12	0,18	0,97	не обн.	0,08	0,20	0,57	0,27	0,11	0,09
P_2O_5	0,12	0,23	0,12	0,23	0,23	0,11	0,27	0,09	0,23	0,50	0,66	0,04	0,06	0,10	0,08	0,24
n.n.n.	1,09	1,84	0,51	1,60	0,74	1,85	1,30	0,81	2,06	0,13	0,73	1,84	0,71	1,40	0,19	0,56
Сумма	100,50	99,81	100,12	99,70	100,41	99,34	100,88	99,82	100,68	100,15	99,98	100,75	100,70	100,82	100,04	100,13

ы 1

											П	родол	іжені	ие таб	блиць
NN n/n	17	18	19	20	21	22	23	24	25	26	27	28	29	30	31
Образец	2084	2192	2105	2101	6852	2185	2926/1	6850	2060	6847	2927	2930	2926	6848	2928
SiO ₂	69,10	69,50	70,26	70,38	70,55	76,46	66,80	69,04	69,07	69,74	69,90	70,20	70,31	71,04	71,61
TiO ₂	0,48	0,60	0,36	0,36	0,35	0,09	0,59	0,30	0,33	0,37	0,32	0,52	0,37	0,34	0,28
Al ₂ O ₃	16,17	16,04	15,00	14,70	14,37	12,73	14,15	15,35	13,00	15,44	13,35	13,14	14,71	14,03	14,21
Fe ₂ O ₃	1,52	2,55	2,05	1,60	2,1	0,45	1,60	1,68	3,86	0,92	2,20	2,54	1,08	1,92	1,13
FeO	1,53	0,94	1,40	1,44	2,8	1,42	2,24	3,36	1,12	2,24	2,12	1,68	2,55	2,24	1,98
MnO	0,07	не обн.	0,09	0,16	0,075	0,01	0,10	0,08	0,06	0,05	0,03	0,04	0,04	0,14	0,04
MgO	1,00	1,32	1,42	1,04	0,78	0,61	1,08	1,22	0,90	0,54	0,09	0,34	0,79	0,63	0,87
CaO	2,20	1,54	1,75	2,07	1,69	1,68	4,48	1,67	3,40	2,67	2,34	2,10	1,68	1,31	1,12
Na ₂ O	4,50	4,20	3,90	5,00	4,7	2,90	5,00	5,10	4,30	5,00	4,85	5,50	5,40	4,60	5,20
K ₂ O	3,40	3,20	3,30	3,30	2,8	4,40	2,70	2,80	2,70	3,00	3,90	2,40	2,80	3,80	3,00
CO ₂	не обн.														
$\mathrm{H_{2}O}$	0,04	0,13	0,11	0,04	0,06	0,11	0,09	0,07	0,06	0,07	0,02	0,07	0,13	0,06	0,11
P ₂ O ₅	0,24	0,05	0,21	0,10	0,06	0,08	0,05	0,12	0,12	0,14	0,10	0,10	0,06	0,12	не обн.
n.n.n.	0,60	0,55	0,86	0,48	0,15	0,02	1,20	0,10	1,23	0,19	0,50	1,65	0,77	0,24	1,12
Сумма	100,85	100,62	100,71	100,67	100,49	100,96	100,08	100,89	100,15	100,37	99,72	100,28	100,69	100,47	100,67

Опись анализов. Первая фаза: 1-габбро, обр. 6851, в 2 км к В от с. Цав, правый борт дороги с. Срашен - с. Цав; 2 - монцогаббро, обр. 2195, в 600 м к Ю от с. Неркин Анд, правый берег р. Кучигет, в 250 м от род. Тазаахбюр; 3 - габбро-диорит, обр. 6843, в 500 м к СВ от с. Цав, правый борт дороги с. Срашен - с. Цав; 4 - габбро-диорит, обр. 2194, в 750 м к ЮВ от Неркин Анд, правый берег р. Кучигет, в 300 м к В от род. Тазаахбюр; 5 - габбро-диорит, обр. 6846, в 1.8 км к 3 от с. Цав, развилка дороги пос. Мегри - с. Шишкерт; 6 - монцодиорит, обр. 2075, в 2 км к В от с. Шишкерт, левый борт дороги с. Шишкерт - с.Цав; 7 – монцодиорит, обр. 2111, в 600 м к ЮВ по дороге от разв. церкви Турджмунанц; 8 - монцодиорит, обр. 2102, в 100 м на 3 от разв. с. Кеманц вдоль дороги; 9 - монцонит, обр. 2100, левый берег р. Цав, в 500 м от зап. оконечности с. Цав; 10 – монцонит, обр. 2205, в 500 м к 3 от разв. с Кеманц, правый борт дороги; 11 – кварц. монцонит, обр. 2929, в 200 м вверх по правому берегу меридион. ручья, в 1.5 км к В от с. Шишкерт; 12 - монцонит, обр. 2080, в 1.2 км к СЗ от разв. с. Кеманц, по дороге с. Цав - с. Шишкерт. Вторая фаза: 13 – кварц. монцонит, обр. 2208, в 1 км к СЗ от разв. с. Кеманц, правый борт дороги с. Цав - с. Шишкерт; 14 – гранодиорит, обр. 2072, в 2 км к В от с. Шишкерт, левый склон дороги с. Шишкерт - с. Цав; 15 - гранодиорит, обр. 6853, в 1.3 км к 3 от с. Дицмайри, правый склон дороги с. Дицмайри – с. Арцахамайр; 16 – гранодиорит, обр. 6841, в 2 км к Ю от с. Срашен, правый борт дороги к с. Цав; 17 – гранит, обр. 2084, в 2 км к СЗ от разв. с. Кеманц, правый борт дороги с. Цав – с. Шишкерт; 18 – гранит, обр. 2192, в 300 м к С от с. Неркин Анд, на дороге; 19 – гранит, обр. 2105, в 750 м к СВ от разв. с. Кеманц, в 400 м к Ю от выс. 1721 м; 20 – гранит, обр. 2101, в 370 м к ЮВ от разв. церкви Турджмунанц, на дороге с. Цав – с. Шишкерт; 21 – гранит, обр. 6852, в 250 м к 3 от зап. окраины с. Цав (по верхней дороге); 22 – аплит, обр. 2185, в 1.5 км к Ю от с. Срашен, на дороге к с. Цав. Третья фаза: 23 – кварц. монцонит, обр.

2926/1, в 4 км к В от с. Шишкерт на дороге к с.Цав; 24 — лейкогранит, обр. 6850, в 1.5 км к В от с. Шишкерт, на дороге к с. Цав; 25 — лейкогранит, обр. 2060, в 1 км к В от г. Прчеван; 26 — лейкогранит, обр. 6847, в 1.7 км к В от с. Шишкерт; 27 — лейкогранит, обр. 2927, в 2 км к В от г. Прчеван; 28 — лейкогранит, обр. 2930, в 1.3 км к В от север. Окраины с. Шишкерт; 29 — лейкогранит, обр. 2926, в 4 км к В от с. Шишкерт, на дороге к с. Цав; 30 — лейкогранит, обр. 6848, в 1.8 км к В от с. Шишкерт; 31 — лейкогранит, обр. 2928, в 1.5 км к В от с. Шишкерт, в 500 м выше дороги к с. Цав.

Породы всех фаз на диаграмме AFM относятся к известково-щелочной серии (рис. 1а), по содержанию K_2O , они занимают верхнюю часть среднекалиевого поля. Выявляется постоянное преобладание Na_2O над K_2O , за исключением аплитов, при широких вариациях отношения Na_2O/K_2O в породах I фазы — $4.12 \div 1.73$ и более низких — в породах II и III фаз (соответственно $1.74 \div 0.70$ и $2.29 \div 1.21$). Состав пород интрузива на диаграмме $Na_2O+K_2O-SiO_2$ (Middlemost, 1994) соответствует для пород I фазы, в основном, габбро-диоритам, монцодиоритам и монцонитам, а для пород II и III фаз — гранодиоритам и гранитам (рис. 1в).

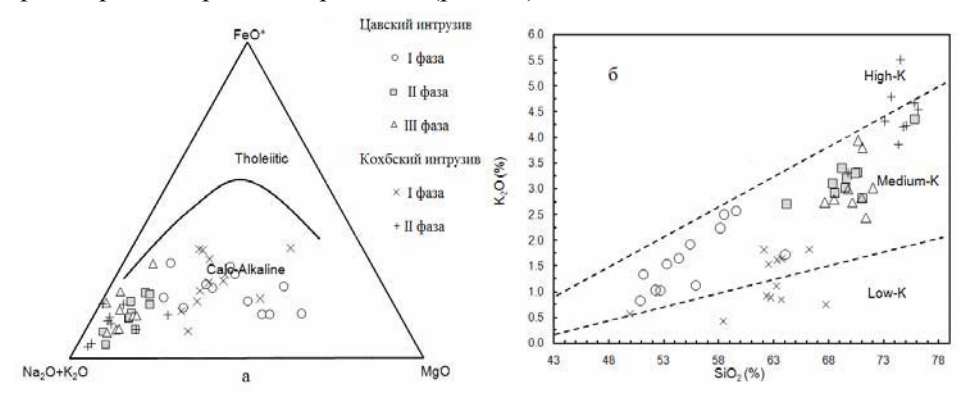
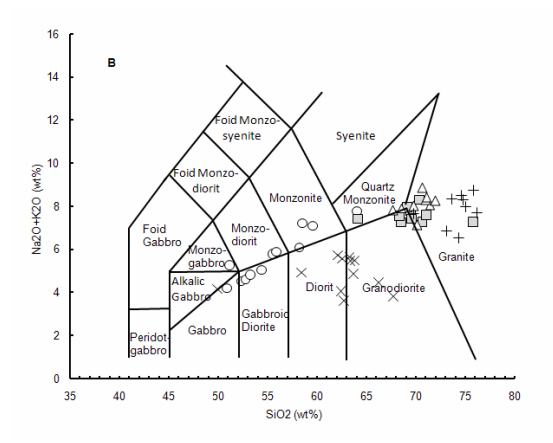


Рис. 1. Распределение состава пород различных фаз Цавского и Кохб-Шнохского интрузивов на диаграммах: а. AFM, б. K_2O -Si O_2 (Le Maitre et al., 1989), в. Na_2O + K_2O -Si O_2 (фрагмент диаграммы Middlemost, 1994).



Приведенные в литературе (Баласанян, 1963) анализы различных авторов для пород I фазы на отмеченной диаграмме соответствуют щелочным габбро,

монцодиоритам, монцонитам, кварцевым монцонитам, для пород II фазы – гранитам.

Изотопная датировка интрузива

Отсутствие однозначных геологических данных о верхней возрастной границе Цавского интрузива обуславливает важное значение его изотопной датировки. Первые определения изотопного возраста пород I и II фаз интрузива были проведены почти 60 лет назад К-Аг методом (Малхасян, 1957). Для пород I фазы были получены значения 135 Ma и 132 Ma (единичные определения одного образца в двух различных лабораториях), для II фазы – 130Ма (единичное определение одного образца в одной лаборатории)^{х)}, что соответствовало неокомскому возрасту. В дальнейшем К-Аг датировка пород массива, проведенная в Лаборатории геохронологии ИГН АН АрмССР выявила резкие различия в возрасте пород I и II фаз интрузива (Багдасарян и др., 1970). Породы І фазы (5 образцов) – "Диориты, кварцевые диориты, сиенито-диориты, гранодиориты, габбро-диориты, жильные дериваты" показали значения в интервале 118÷124 Ма (сред. 120.5±3 Ма), что указывало на их верхненеоком-доаптский возраст. Датировка пород ІІ фазы (8 образцов) - "Розовые граниты, частью кварцевые и реже бескварцевые сиениты, жильные дериваты" показали значения 37÷43Ma (сред. 39±3Ma), соответствовало верхнеэоценовому возрасту. Резкий возрастной разрыв в формировании пород I и II фаз интрузива, послужил для авторов обоснованием под названием "Цавский массив" подразумевать породы лишь I фазы массива, породы же ІІ фазы были именованы как "Шишкерт-Раздаринский массив".

Новые сведения о возрасте Цавского интрузива были получены недавно при комплексном исследовании эволюции разновозрастного магматизма Капанской зоны (Mederer et al., 2013). U-Pb датировка цирконов (LA-ICP-MS) из двух образцов интрузива - биотит содержащих роговообманковоклинопироксеновых монцодиоритов роговообманково-биотитовых И гранодиоритов - соответственно 136.2±1.10Ma, MSWD=0.89 и 133.6±2.20Ma. MSWD=1.30 (без указания к какой фазе относятся датированные образцы) свидетельствует об их нижнемеловом (готерив) возрасте. Отсутствие U-Pb датировок пород всех фаз массива в отмеченной работе не позволяет оценить степень достоверности К-Аг возрастных данных о резком отрыве времени формирования пород различных фаз. В этой связи нами проведено детальное Rb-Sr изохронное исследование пород всех фаз массива. Описание методики анализа приведено в работе (Мелконян и др., 2008). Относительные погрешности измерения геохронометрических параметров- ⁸⁷Rb/⁸⁶Sr~2.5%, 87 Sr/ 86 Sr~0.03-0.1%, величина константы распада 87 Rb - λ_{β} =1.42·10⁻¹¹год⁻¹. Rb-Sr экспериментальный материал исследованных образцов приведен в таблицах 2, 3, 4. Изотопно-аналитические данные обработаны с помощью компьютерной

x) K сожалению, в статье не указаны лаборатории, в которых были проведены датировки и точность определений.

программы "Isoplot" (Ludwig, 1999), разработанной на основе полиномиального метода наименьших квадратов (York, 1966; McIntyre et al., 1966).

Таблица 2 Rb-Sr изотопно-аналитические данные пород I фазы Цавского интрузива

N образца	Rb,	Sr, ppm	Rb/Sr	⁸⁷ Sr/ ⁸⁶ Sr атомные отношения
PM-6022	27.25	368.61	0.074	0.70396±0.00026 0.70390±0.00026
PM-6023	38.42	352.38	0.109	0.70418±0.00014 0.70406±0.00026
PM-2757	32.48	420.69	0.077	0.70400±0.00049
PM-6745	22.67	403.12	0.056	0.70398±0.00063
PM-6846	31.78	282.42	0.112	0.70412±0.00075

Опись анализов: РМ-6022, габбро-диорит, в 850м к В от с. Цав, прав. борт дороги с. Срашен – с. Цав; РМ-6023, монцодиорит, в 2 км к 3 от с. Цав, прав. борт дороги с. Цав – с. Шишкерт; РМ-2757, монцодиорит, в 2.8 км к 3 от с. Цав, прав. борт дороги с. Цав – с. Шишкерт; РМ-6745, габбро-диорит, в 3 км к СЗ от с. Цобадзор; РМ-6846, габбро-диорит, в 4 км к В от с. Шишкерт, лев. борт дороги с. Шишкерт – с. Цав.

В таблице 2 сведены Rb-Sr изотопно-аналитические данные 5 образцов пород I фазы Цавского интрузива. Приведенный в этой таблице экспериментальный материал не пригоден для построения изохроны, так как анализированные образцы характеризуются очень низкими Rb/Sr отношениями (0.056-0.112) и имеют, в пределах погрешности измерений, одинаковые 87 Sr/ 86 Sr отношения.

В таблице 3 приведены Rb-Sr данные 13 образцов пород II фазы Цавского массива.

Таблица 3 Rb-Sr изотопно-аналитические данные пород II фазы Цавского интрузива

N на		Rb,	Sr,		⁸⁷ Sr/ ⁸⁶ Sr атомные
рис. 2а	N образца		r r	Rb/Sr	отношения
рис. 2а		ppm 66.56	93.63		0.70706±0.00028
13	PM-2072			0.723	
		67.62	91.97		0.70702±0.00028
14	PM-2101	77.68	98.89	0.775	0.70735±0.00021
	-	76.24	99.62		0.70739±0.00021
11	PM-2192	59.64	85.77	0.704	0.70726±0.00035
- 11	1101 2172	60.49	84.53	0.701	0.70712±0.00052
6	PM-6018	55.61	152.53	0.368	0.70566±0.00019
O	1 141-0016	56.11	150.77	0.508	0.70551±0.00019
4	DM (010	56.74	183.74	0.313	0.70562±0.00037
4	PM-6019	59.60	187.36	0.313	0.70543±0.00023
1.5	D) ((020	65.15	83.08	0.702	0.707(2:0.00010
15	PM-6020	65.43	83.60	0.783	0.70762±0.00019
_	D) ((001	48.90	126.48		0.70569±0.00049
7	PM-6021	48.87	127.42	1.114	0.70548±0.00021
		56.88			
8	PM-2785	54.56	133.72	0.427	0.70576±0.00085
	1111 27 00	57.13	129.28	027	0.70580±0.00062
					0.70642±0.00142
9	PM-6750	63.63	121.32	0.518	0.70608±0.00068
	1111 0750	61.86	121.03	0.510	0.70625±0.00038
		64.83	68.72		0.70819±0.00066
16	PM-2444	63.60	69.03	0.932	0.70819±0.00000 0.70898±0.00089
		74.68	109.74		0.70741±0.00050
10	PM-6759	73.16	1103.74	0.672	0.70741 ± 0.00030 0.70724 ± 0.00034
18	PM-2762	109.52	92.05	1.189	0.70917±0.00034
		110.13	92.69		0.70927±0.00056
12	PM-2105	76.87	106.2	0.719	0.70723±0.00012
		75.64			0.70732±0.00032
		69.60	61.69		0.70993±0.00085
17	PM-6853	69.67	59.63	1.154	0.70908±0.00078
		07.07	59.73		3.70700=0.00070

Опись анализов: РМ-2072 — кварц. монцонит, в 2 км к В от с. Шишкерт, лев. борт дороги с. Шишкерт — с. Цав; РМ-2101 -порфировид. гранит, в 0.5 км к СВ от с. Цав, лев. крупный приток р. Цав; РМ-2192 — порфировид. гранит, в 300 м к С от с. Неркин Анд; РМ-6018, 6019 — порфировид. гранодиорит, в 2.5 км к Ю от с. Срашен; РМ-6020 — порфировид. гранодиорит, в 4 км к Ю от с. Срашен; РМ-6021 — порфировид. гранидиорит, в 5.5 км к Ю от с. Срашен; РМ-2785 — порфировид. гранодиорит, в 500 м к ЮЗ от г. Кечалсар, правый борт дорог; РМ — 6750, порфировид. гранодиорит, в 3.2 км к ЮВ от с. Собу, правый берег р. Собу; РМ — 2444, гранодиорит, в 2.5 км к Ю от с. Срашен, правый борт дороги с. Срашен-с. Цав; РМ — 6759, порфировид. гранодиорит, в 1.8 км к В от с. Арцахамайр, левый борт дороги; РМ — 2762, аплит, в 800 м к 3 от разв. с. Кеманц; РМ — 2105, порфировид. гранодиорит, в 750 м к В от разв. с. Кеманц, в 400 м к Ю от выс. 1721 м; РМ — 6853, порфировид. гранодиорит, в 1.3 км к 3 от с. Дицмайри, правый склон дороги с. Дицмайри-с. Арцахамайр.

Статистическая обработка этих экспериментальных данных приводит к изохроне со следующими параметрами: $T=109.6\pm9.8$ Ма, первичное отношение $^{87}/^{86}\mathrm{Sr}_{i}=0.70396\pm0.00027$ и MSWD=0.61. Изохронная диаграмма в координатах $^{87}\mathrm{Rb}/^{86}\mathrm{Sr}$ - $^{87}\mathrm{Sr}/^{86}\mathrm{Sr}$ графически представлена на рис. 2а. Несколько большая, около 10%-ая ошибка определения возраста обусловлена небольшой растяжкой изохроны (близкие Rb/Sr отношения анализированных образцов).

Rb-Sr изотопно-аналитические данные 9 образцов пород III фазы Цавского массива приведены в таблице 4.

Таблица 4 Rb-Sr изотопно-аналитические данные пород III фазы Цавского интрузива

N на	N ofmonyo	Rb,	Sr,	Rb/Sr	⁸⁷ Sr/ ⁸⁶ Sr атомные
рис. 2б	N образца	ppm	ppm	K0/51	отношения
5	PM-2931	41.03	121.42	0.329	0.70561±0.00049
3	PWI-2931	39.97	124.42	0.329	0.70548±0.00035
24	PM-2060	55.93	12.61	4.517	0.72605±0.00033
24	F WI-2000	56.99	12.40	4.317	0.72498±0.00041
20	PM-2927	53.25	17.77	2.997	0.71820±0.00014
20	PWI-2927	54.34	18.13	2.997	0.71800±0.00072
19	PM-2928	60.88	23.04	2.614	0.71715±0.00016
19	FWI-2928	61.72	23.87	2.014	0.71675±0.00036
21	PM-6024	58.65	18.91	3.140	0.71891±0.00022
21	FWI-0024	59.78	18.81	3.140	0.71856±0.00036
25	PM-6027	52.44	10.95	4.787	0.72162±0.00026
23	F WI-0027	55.37	11.57	4.767	0.72131±0.00035
22	PM-2775	51.69	15.54	3.326	0.71978±0.00072
23	PM-6850	59.25	17.67	3.430	0.72102±0.00025
23	FWI-0830	60.20	17.15	3.430	0.72036±0.00086

Опись анализов: РМ — 2931, гранит, в 1.3 м к В от с. Шишкерт, левый мерид .приток р. Шишкерт; РМ — 2060 — гранит, в 1 км к В от выс. Прчеван; РМ — 2927 гранит, в 1.5 км к В от с. Шишкерт, правый борт дороги с. Цав — с. Шишкерт; РМ — 2928, гранит, в 1.3 к В от с. Шишкерт, левый мерид. приток р. Шишкерт, в 500 м вверх по течению ручья; РМ — 6024, гранит, в 5 км к 3 от с. Цав, правый борт дороги с. Цав — с. Шишкерт; РМ — 6027, гранит, в 5 км к В от с. Шишкерт; РМ — 2775 — гранит, в 2.8 км к В от вост. Окраины с. Шишкерт; РМ — 6850 — кварц. монцонит, в 1.5 км к В от с. Шишкерт, развилка на пос. Мегри и с. Шишкерт.

Статистическая обработка экспериментальных данных приводит к изохроне (рис. 26) со следующими параметрами: $T=117.3\pm3.1$ Ma, $^{87}/^{86}Sr_i=0.70398\pm0.00038$ и MSWD=1.4.

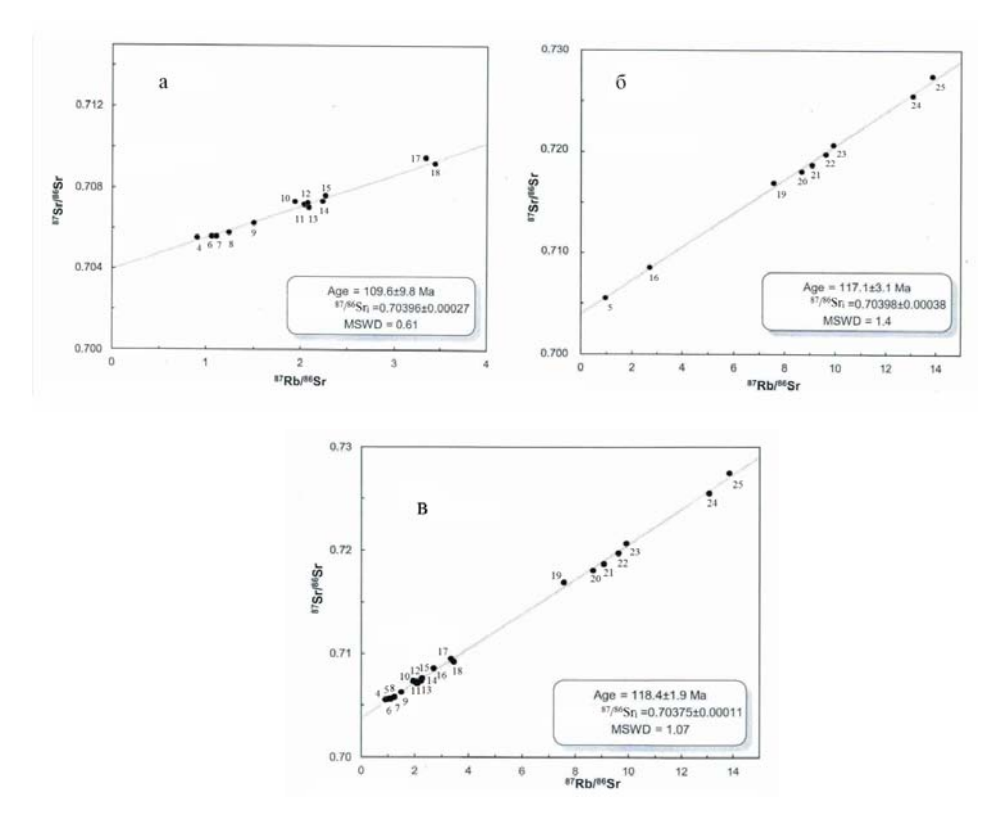


Рис. 2. а. Rb-Sr изохрона пород II фазы; условные обозначения см. табл. 3; б. Rb-Sr изохрона пород III фазы, условные обзоначения см. табл. 4; в. Rb-Sr единая изохрона пород II и III фаз.

Результаты раздельной Rb-Sr датировки пород II и III фазы Цавского массива свидетельствуют о необходимости сравнения полученных двух изохрон, что позволит, с определенной вероятностью, установить их одновозрастность или отрицать ee. Поскольку первичные отношения ⁸⁷/⁸⁶Sr_i одинаковы для обеих серий образцов, остается сравнение коэффициентов регрессии b_1 и b₂ изохрон пород II и III фазы с помощью t-критерия (Графич. методы изотоп.геол., 1974). Расчеты показывают, что экспериментальная величина t_b равна 0.68, что намного меньше табличного значения t_b=2.07 для 95%-ой доверительной вероятности: $t_b=0.68 < t_{0.05}(22)=2.07$, где 22 число степеней свободы v, равное количеству анализированных образцов. Следовательно, с 95%-ой вероятностью можно утверждать, что породы II и III фаз Цавского интрузива одновозрастны. Это позволяет произвести совместную обработку всех Rb-Sr данных пород II и III фаз Цавского интрузива. Параметры новой изохроны (рис. 2_B) следующие: $T=118.4\pm1.9$ $^{87}/^{86}$ Sr_i=0.70375±0.00011, MSWD=1.07. Что касается возраста пород I фазы, то, судя по их очень низким 87 Sr/ 86 Sr отношениям можно предполагать, что они составляют единую систему, с точки зрения возраста, с породами II и III фаз.

С целью проведения альтернативной датировки Цавского интрузива в Департаменте наук о Земле Национального университета Тайваня было проведено определение изотопного возраста пород всех фаз массива U-Pb методом (LA-ICP-MS). Статистическая обработка экспериментальных данных (таблицы 5, 6, 7) указывает на единый – нижнемеловой возраст пород всех фаз интрузива (габбро-диорит I фазы – 131.4 ± 1.4 Ма, MSWD=0.49; гранодиорит II фазы – 129.5 ± 1.7 Ма, MSWD=0.84; лейкократовый гранит III фазы – 131.4 ± 1.8 Ма, MSWD=0.30), близковозрастную датировку пород II и III фаз и на отсутствие разностей эоценового возраста.

Таблица 5

		-	<u>2</u>	9	9	_	9	_	_	~	10	_	8	9	2	9	9	5	5	7	_	8	
						7	-	4	7 7	1 8	-	1 7		_	-	_					7 6		9 9
		²⁰⁸ Pb	232 Th	131	122	119	119	75	127	131	138	101	126	124	118	130	125	110	116	133	129	138	116
		±1s		3	3	4	3	4	3	3	\mathcal{E}	4	\mathcal{C}	3	4	\mathcal{C}	\mathcal{C}	3	3	4	3	4	3
		206 Pb	238U	134	132	131	132	135	130	129	130	128	128	133	132	128	132	131	131	138	132	133	132
	Ma)	±1s		10	6	16	13	19	13	9	11	15	10	14	11	12	6	7	11	14	7	20	6
3a	Ages (Ma)	207Pb ±1s	235U	147	125	131	107	179	137	120	126	142	121	135	130	141	121	122	130	143	127	129	
рузин	¥	±1s 2		115	123	217	219		991	55	151	201	135	184	149	151	119	73	152	169	77	247	119 119
инт		207 Pb	206 Pb	364	-15	135	-353 2	812 185	267	6-	99	377 [-18	182	88	372	-61	<u>~</u>	112	241	36	50	-88
кого			20	-		-	-	-	_	_		-	_	_	\vdash	_			_	-			-
I фазы Цавского интрузива		±1s		0.0003	0.0003	0.0004	0.0003	0.000	0.0004	0.000	0.0005	0.0003	0.0004	0.0003	0.0003	0.0003	0.0003	0.0003	0.0003	0.0004	0.0003	0.0004	0.00
азы		²⁰⁸ Pb	232Th	0.0065	0.0061		0.0059	037	0.0063	990	0.0069		0.0063	062	0.0059	0.0065	0.0062	0.0054	0.0058	0.0066	0.0064	0.0068	057
		208	232			0.0		0.0		0.0	0.0	0.0		0.0			-				0.0		0.0
орита		±1s		0.0005	0.0005	0.0006 0.0059	0.0005	0.0007	0.0005	0.0005	0.0005	0.0006 0.0050	0.0005	0.0006 0.0062	0.0006	0.0005	0.0005	0.0005	0.0005	0.0006	0.0005	0.0006	0.0005
ир-ос		₂₀₆ Pb	238U	0.0209	0.0207	0.0205	0.0208	211	0.0203	202	0.0204		0.0201		0.0208	0.0200	0.0207	0.0205	0.0205	0.0216	0.0207	0.0209	207
a66j		506	23			0.0		0.0	0.0	0.0	0.0	0.0		0.0						_	-		0.0
конов 1		±1s		0.0114	0.0105	0.0179	0.0142	0.0226	0.0141	0.1257 0.0061 0.0202 0.0005 0.0065 0.0004	0.0124	0.1498 0.0174 0.0201	0.0109	0.0152 0.0208	0.0128	0.0135	0.0099	0.0075	0.0127	0.0153	0.0077	0.0220	0.0100
пир	atios	207 Pb	235U	0.1554	0.1308	0.1378	0.1114	876	0.1446	257	0.1323	498	0.1266	0.1425	0.1367	0.1491	0.1262	0.1277	0.1365	0.1517	0.1333	0.1351	248
овка	-Pb	207	23	-	-	-	-	0.1		0.1			-	-	-		-			_		-	0.1
U-Рь датировка цирконов габбро-диорита	U-Th-Pb ratios	4	S H	0.0028	0.0027	0.0051	0.0041	$0.0059 \mid 0.1928 \mid 0.0226 \mid 0.0211 \mid 0.0007 \mid 0.0037 \mid 0.0002$	0.0039	0.0013	0.0034	0.0049	0.0029	0.0042	0.0033	0.0037	0.0025	0.0017	0.0034	0.0039	0.0017	0.0064	0.0437 0.0025 0.1248 0.0100 0.0207 0.0005 0.0057 0.0003
U-Pb		²⁰⁷ Pb	206 Pb	0.0538	0.0458	0.0487	1.04 0.0389	1.02 0.0662	516	512 1.85 0.0452	1.34 0.0471	0.0541	0.0457	0.0497	0.0478	1.26 0.0540	0.0442	0.0452	0.0483	0.0510	0.0468	0.0470	.0437
				0.95 0	1.29 0	0.83 0	04 0	02 0	185 0.98 0.0	85 0	34 6	97 6	0.96 0	1.21 0	1.48 0	26 0	1.38 0	1.79 0	1.12 0	1.13 0	1.70 0	1.00 0	
					-		180 1.	186 1.	5 0.	2 1.	9 1.	198 0.97											271 2.08
		_	(mdd)	242	256	187	-			_	249	19	243	166	257	187	262	512	197	195	374	132	
		1000	ode	6846-01	6846-02	6846-03	6846-04	6846-05	6846-06	6846-07	6846-08	6846-09	6846-10	6846-11	6846-12	6846-13	6846-14	6846-15	6846-16	6846-17	6846-18	6846-19	6846-20

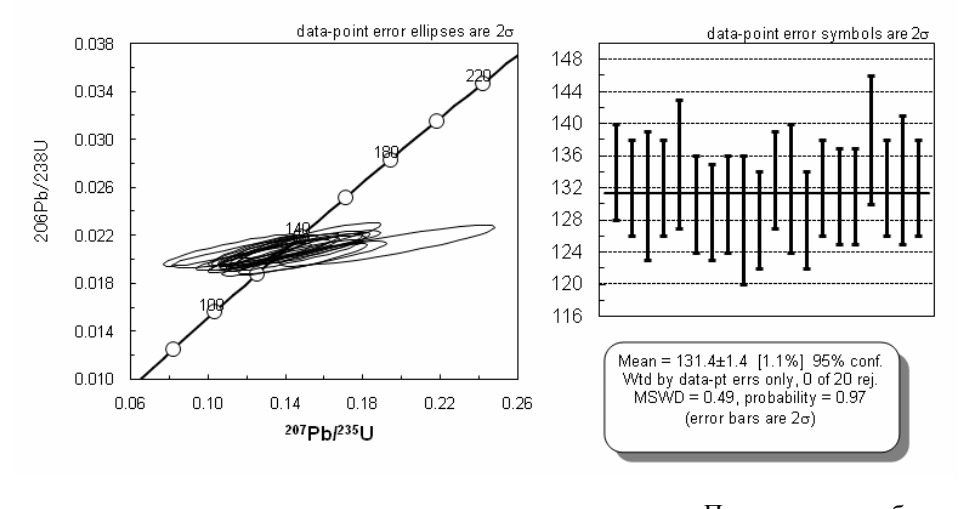
Таблица 6

		200	~				~			~						_		61	~	~~
		±18	13	8	6	8	13	10	19	12	10	10	00	1	1.	7	Ξ	12	12	13
		208Pb 232Th	168	133	139	117	146	133	150	151	120	148	132	156	156	133	144	150	136	149
		±18	4	3	4	4	5	4	S	3	4	4	3	3	m	4	4	4	4	4
	1)	Nscz qdscz	128	129	132	120	136	130	132	126	131	133	129	127	128	134	130	134	130	132
	Ages (Ma)	±18	32	15	16	36	31	24	38	8	26	21	14	16	18	21	19	19	25	25
зива	Age	All Tark	139	130	162	146	147	92	80	107	177	130	129	103	113	144	115	118	68	125
нтру		±1\$	418	206	180	452	389	305	543	109	246	247	180	236	203	243	216	205	275	285
юго и		207Pb	345	166	633	585	334	-128	-342	-238	856	92	134	-346	-136	308	-134	-148	-171	4
ы Цавсь		±18	9000'0	0.0004	0.0004	0,0004	0.0007	0.0005	6000.0	0.0006	0.0005	0.0005	0.0004	0.0005	9000'0	0.0003	9000'0	0.0006	9000.0	9000'0
a II фаз		208Pb 232Th	0,0083	9900'0	6900'0	0.0058	0.0073	9900'0	0.0074	0.0075	0900.0	0.0074	0,0066	0.0078	0.0078	9900'0	0.0071		0.0068	0.0074
U-Рь датировка цирконов гранодиорита II фазы Цавского интрузива		±1s	0.0007	0.0005	0.0006	0,0007	0.0007	9000'0	0.0008 0.0074	0.0005	9000'0	0.0006 0.0074 0.0005	0.0005	0.0005	0.0006 0.0078	9000'0	0.0006	0.0006 0.0075	0.0006	9000'0
эв гранс		Age Tage	0.0200	0.0201	0.0206	0.0188	0.0213	0.0204	0.0207	0.0198	0.0205	0.0208	0.0202	0.0198	0.0201	0.0210	0.0203	0.0210	0.0204	0.0206
цирконс		±18	0,0367	0.0163	0.0185	0,0408	0.0356	0.0262	0.0400 0.0207	0.0088	0.0300	0.0234 0.0208	0.0155	0.0176	0.0195	0.0238	0.0211	0.0061 [0.1231 0.0206 0.0210	0.0271	0.0274
провка	ratios	207 <u>Pb</u>	0.1472	0.1371	0.1731	0.1543	0.1560	0.0944	0.0817	0.1116	0.1906	0.1363	0.1353	0.1067	0.1182	0.1521	0.1198	0.1231	0.0918	0.1312
-Рь дат	U-Th-Pb ratios	±18	0.0117	0.0047	0.0051	0.0138	0.0105	0.0085	0.0131 0.0817	0.0024	0.0088	0.0070	0.0045	0.0055	0900'0	0,0071	0.0065	0.0061	0.0088	0.0084
n		207 <u>Pb</u> 206Pb	0.0534	0.0494	0.0608	0,0595	0.0531	0.0337	0.68 0.0287	0.0409	9/90'0	0.57 0.0475	0.0487	0.0390	0.59 0.0428	0.56 0.0525	0.0428	0.68 0.0425	0.65 0.0326	0.66 0.0461
		Th/U	.61	0.62	0.92	0.06 0.0	0.58	0.62	89.0	0.95	68.0	0.57	0.65	09.0	65'0	0.56	99.0	89.0	0.65	99.0
		L (mdd)	72	169	147	88	90	101	77	327	87	114	179	157	143	124	133	135	102	66
		Spot	6759-01	6759-02	6759-03	6759-04	6759-05	90-6529	6759-07	60-6529	6759-10	6759-11	6759-12	6759-14	6759-15	6759-16	6759-17	6759-18	6759-19	6759-20

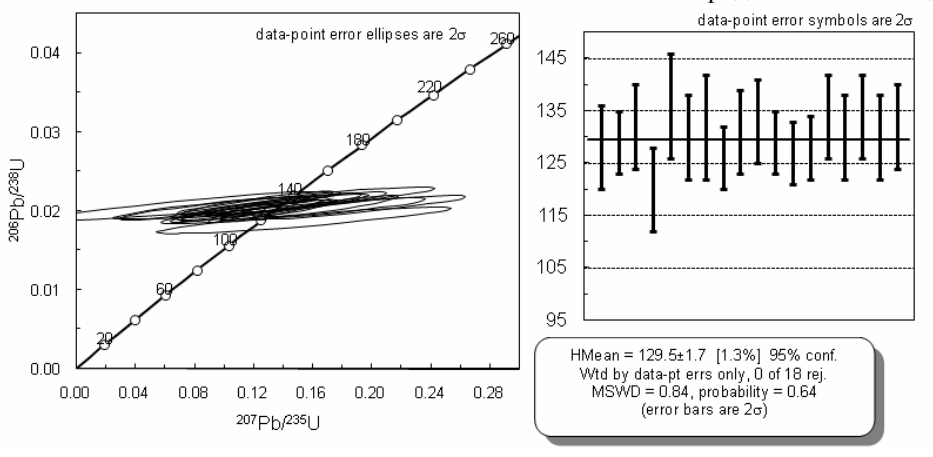
Таблица 7

unitary ± 18 ± 118 ± 18 ± 18 ± 18 ± 18 ± 118 ± 118 ± 118			[-N	Эь датиј	ровка ц	ирконо	в лейко	гранил	ra III фа	U-Рb датировка цирконов лейкогранита III фазы Цавского интрузива	жого 1	антру	зива					
$ \begin{array}{c c c c c c c c c c c c c c c c c c c $				U-Th-P	b ratios								Ages	(Ma)				
0.0181 0.184 0.0565 0.0209 0.0005 0.0004 397 352 149 28 134 4 112 0.0094 0.1885 0.0316 0.0007 0.0006 0.0007 413 66 145 7 129 3 153 0.0016 0.1839 0.0075 0.0203 0.0006 0.0006 1070 413 66 145 7 129 3 153 0.0149 0.1440 0.0409 0.0207 0.0006 0.0007 2.71 187 111 14 133 4 120 0.0189 0.1440 0.0504 0.0006 0.0005 2.71 187 111 14 133 4 120 0.0189 0.1440 0.0524 0.0009 0.0005 0.0005 2.0005 2.0006 2.0006 2.0006 2.0006 2.0006 2.0006 2.0006 2.0006 2.0006 2.0006 2.0006 2.0006 2.0006 2.0006	$\frac{U}{(ppm)}$ Th/U $\frac{207}{206}$	2 2	<u>ඩ</u> ඩ	±1.5	138U	±18	238 <u>U</u>	±18	208Pb 232Th	#	20.7 <u>Pb</u> 206Pb		Tsrz 734U			138		<u> </u>
0.0016 0.1585 0.0316 0.0211 0.0056 0.0004 397 352 149 28 134 4 112 0.0016 0.1539 0.0075 0.0005 0.0006 0.0006 10700 413 66 145 7 129 3 153 0.0149 0.2148 0.0499 0.0207 0.0006 0.0006 0.0005 2-71 187 111 14 133 4 120 0.0189 0.1150 0.0209 0.0006 0.0006 0.0006 2-71 187 111 14 133 4 120 0.0189 0.0204 0.0009 0.0076 0.0009 0.0075 0.0001 1115 824 39 51 140 0.0275 0.0204 0.0009 0.0005 0.0006 0.0006 0.0006 0.0006 141 111 41 13 4 120 0.0178 0.0204 0.0009 0.0005 0.0001 0.00	0.65 0.0	0	3412	0.0181	0.1184		-	0,000		0.0007	-222	674	114	51	133	s.	124	14
0.0016 0.1539 0.0075 0.0203 0.0006 0.0008 1075 4.8 17 129 3 153 0.0149 0.2148 0.0499 0.0207 0.0081 0.0008 1079 438 198 42 132 5 163 0.0042 0.1155 0.0150 0.0208 0.0060 0.0005 213 670 137 53 132 6 153 0.0189 0.1440 0.0594 0.0207 0.0009 0.0076 0.0009 213 670 137 53 132 6 153 0.0275 0.0276 0.0207 0.0007 <t< td=""><td>0,73 0,</td><td>0</td><td>0546</td><td>0,0094</td><td>0,1585</td><td></td><td></td><td></td><td></td><td>0.0004</td><td>397</td><td>352</td><td>149</td><td>28</td><td>134</td><td>4</td><td>112</td><td>9</td></t<>	0,73 0,	0	0546	0,0094	0,1585					0.0004	397	352	149	28	134	4	112	9
0.0149 0.2148 0.0494 0.0207 0.0008 0.0008 1.0708 1079 438 198 42 132 5 163 0.0042 0.1155 0.0150 0.0006 0.0006 0.0005 -271 187 111 14 133 4 120 0.0189 0.1440 0.0594 0.0207 0.0009 0.0104 0.0005 591 913 192 89 161 9 210 0.0275 0.2077 0.1059 0.0253 0.0014 0.0104 0.0005 0.0001 -1115 824 39 51 132 145 0.0276 0.0209 0.0007 0.0001 0.0007 0.0001 -1115 824 39 51 145 147 0.0275 0.0209 0.0007 0.0008 0.0001 -111 14 13 145 151 0.015 0.0209 0.0001 0.0002 0.0001 -110 149 14 1	1,70 0.	0	0550	9100'0	0,1539	0.0075		0.0005	9/00'0	0.0007	413	99	145	7	129	3	153	14
0.0042 0.1155 0.0150 0.0208 0.0060 0.0005 -271 187 111 14 133 4 120 0.0189 0.1440 0.0594 0.0207 0.0009 0.0025 591 913 192 89 161 9 210 0.0275 0.2077 0.1059 0.0253 0.0014 0.0104 0.0025 591 913 192 89 161 9 210 0.0178 0.2077 0.1059 0.0207 0.0009 0.0007 0.0001 -471 302 101 7 132 8 146 0.0178 0.0388 0.0207 0.0007 0.0008 0.0007 0.0007 0.0007 0.0007 1775 282 278 43 134 2 144 0.0154 0.0156 0.0007 0.0007 0.0007 0.0007 1775 282 278 43 134 134 0.0156 0.0201 0.0007 0.000	0.62 0.	0	0754		0.2148			0.0008	0.0081	0.0008	1079	438	198	42	132	S	163	16
0.0189 0.1440 0.0594 0.0207 0.0009 0.0005 513 670 137 53 132 6 153 0.0275 0.2077 0.1059 0.0253 0.0014 0.0104 0.0025 591 913 192 89 161 9 210 0.0178 0.0388 0.0523 0.0207 0.0005 0.0006 0.0006 471 302 101 7 130 3 140 0.0120 0.1041 0.0079 0.0204 0.0005 0.0006 0.0006 471 302 101 7 130 3 144 0.0154 0.1648 0.0755 0.0209 0.0012 0.0007 0.0007 0.0007 1775 282 278 43 134 5 144 0.0154 0.0256 0.0201 0.0005 0.0007 0.0005 0.0007 0.0005 0.0007 0.0007 0.0007 0.0007 0.0000 0.0006 0.0007 0.0000 <td>1.08 0</td> <td>0</td> <td>0403</td> <td></td> <td>0.1155</td> <td></td> <td></td> <td>9000'0</td> <td>0900'0</td> <td>0.0005</td> <td>-271</td> <td>187</td> <td>111</td> <td>14</td> <td>133</td> <td>4</td> <td>120</td> <td>6</td>	1.08 0	0	0403		0.1155			9000'0	0900'0	0.0005	-271	187	111	14	133	4	120	6
0.0275 0.2077 0.1059 0.0253 0.0014 0.0104 0.0104 0.0025 591 913 192 89 161 9 210 0.0178 0.0208 0.0207 0.0009 0.0072 0.0011 -1115 824 39 51 132 5 145 0.0020 0.0207 0.0009 0.0006 0.0006 0.0006 -471 302 101 7 130 3 140 0.0125 0.0366 0.0200 0.0007 0.0008 499 417 149 32 127 4 137 0.0126 0.0209 0.0010 0.0075 0.0007 1775 282 278 4 131 5 144 0.0120 0.0209 0.0007 0.0002 1775 282 278 4 131 5 144 0.0120 0.0204 0.0005 0.0007 0.0006 0.0007 0.0007 111 141 131 <	0.59 0	0	0504		0.1440	0.0594		0.0009	0.0076	0.0009	213	029	137	53	132	9	153	18
0.0178 0.0388 0.0523 0.0207 0.0009 0.0017 0.0011 1115 824 39 51 132 5 145 0.0020 0.0020 0.0020 0.0069 0.0006 -471 302 101 7 130 3 140 0.0115 0.1575 0.0366 0.0200 0.0007 0.0008 499 417 149 32 127 4 137 0.0154 0.0498 0.0755 0.0209 0.0007 0.0007 1775 282 278 43 134 5 144 0.0154 0.0356 0.0201 0.0007 0.0007 1775 282 278 4 134 5 144 0.0156 0.0201 0.0007 0.0007 1775 282 278 4 130 3 124 0.0008 0.1526 0.0007 0.0007 2.0007 110 131 131 3 124 131 134	0.31 0	0	0597		0.2077	0.1059		0.0014	0.0104	0.0025	591	913	192	68	161	6	210	50
0.0020 0.1041 0.0079 0.0204 0.0068 0.0006 -471 302 101 7 130 3 140 0.0115 0.1575 0.0366 0.0209 0.0007 0.0068 0.0008 499 417 149 32 127 4 137 0.0254 0.0498 0.0755 0.0010 0.0075 0.0007 1775 282 278 43 134 5 144 0.0154 0.0356 0.0201 0.0007 0.0007 1775 282 278 43 134 5 144 0.0154 0.0356 0.0201 0.0007 0.0007 1775 282 278 43 131 5 144 0.0120 0.0204 0.0007 0.0002 0.0007 393 35 145 4 130 3 95 0.0024 0.0169 0.0006 0.0062 0.0004 471 97 154 1 126	0 29.0	0	0136		0.0388	0.0523		0.0009	0.0072	0.0011	-1115	824	39	51	132	5	145	22
0.0115 0.1575 0.0366 0.0200 0.0068 0.0008 499 417 149 32 127 4 137 0.0254 0.0498 0.0755 0.0209 0.0010 0.0075 0.0012 -906 970 49 73 133 7 151 0.0154 0.0456 0.0201 0.0012 0.0007 1775 282 278 43 134 5 144 0.0120 0.0205 0.0007 0.0062 0.0007 1775 282 278 43 134 5 144 0.0120 0.0205 0.0007 0.0062 0.0007 1775 282 148 4 131 5 124 0.0024 0.0205 0.0007 0.0007 393 35 145 4 120 0.0024 0.0204 0.0006 0.0062 0.0004 471 97 154 125 0.0258 0.0119 0.0006 0.0059 <td< td=""><td>0 26.0 </td><td>0</td><td>0370</td><td></td><td>0.1041</td><td></td><td></td><td>0.0005</td><td>6900'0</td><td>0.0006</td><td>471</td><td>302</td><td>101</td><td>7</td><td>130</td><td>3</td><td>140</td><td>12</td></td<>	0 26.0	0	0370		0.1041			0.0005	6900'0	0.0006	471	302	101	7	130	3	140	12
0.0254 0.0498 0.0755 0.0209 0.0010 0.0075 0.0012 -906 970 49 73 133 7 151 0.0154 0.0154 0.0355 0.0201 0.0007 0.0007 1775 282 278 43 134 5 144 0.0120 0.0205 0.0007 0.0062 0.0005 515 431 153 34 131 5 144 0.0008 0.1524 0.0205 0.0007 0.0062 0.0003 393 35 145 4 130 3 95 0.0008 0.1534 0.0051 0.0006 0.0062 0.0004 471 97 149 16 134 4 120 0.0024 0.0106 0.0062 0.0004 471 97 149 16 134 4 120 0.0155 0.1583 0.0211 0.0006 0.0053 0.0008 287 683 135 4 130 <td>0.75 0</td> <td>0</td> <td>0572</td> <td>0.0115</td> <td>0.1575</td> <td></td> <td></td> <td></td> <td></td> <td>0.0008</td> <td>499</td> <td>417</td> <td>149</td> <td>32</td> <td>127</td> <td>4</td> <td>137</td> <td>91</td>	0.75 0	0	0572	0.0115	0.1575					0.0008	499	417	149	32	127	4	137	91
0.0154 0.3155 0.0562 0.0211 0.0009 0.0072 0.0005 515 431 153 43 134 5 144 0.0120 0.1626 0.0388 0.0205 0.0005 0.0005 515 431 153 34 131 5 124 0.0008 0.1534 0.0051 0.0005 0.0007 0.0003 393 35 145 4 130 3 95 0.0004 0.1534 0.0204 0.0006 0.0007 0.0004 471 97 154 9 134 3 125 0.0005 0.1583 0.0211 0.0006 0.0059 0.0004 287 683 135 52 127 4 120 0.0195 0.0199 0.0019 0.0059 0.0006 287 683 135 52 127 5 100 0.0239 0.2014 0.0050 0.0066 0.0066 0.0066 0.0066 0.0066	0.56	\square	0.173		0.0498			0.0010	0.0075	0.0012	906-	026	49	73	133	7	151	24
0.0120 0.1626 0.0388 0.0205 0.0007 0.0005 0.0005 393 35 145 4 131 5 124 0.0008 0.1534 0.0051 0.0204 0.0005 0.0047 0.0003 393 35 145 4 130 3 95 0.0024 0.0051 0.0201 0.0065 0.0064 471 97 154 9 134 3 125 0.0050 0.1640 0.0166 0.0060 0.0064 471 97 154 9 134 3 125 0.0050 0.1640 0.0060 0.0062 0.0064 391 212 149 16 134 4 120 0.0155 0.1425 0.0287 0.0199 0.0063 0.0063 0.0010 1509 23 23 23 23 23 23 23 23 23 13 4 132 0.0074 0.1485 0.0263	99'0	_	0.1086	0.0154	0.3155			0.000	0.0072	0.0007	1775	282	278	43	134	5	144	14
0.0008 0.1534 0.0051 0.0204 0.0005 0.0047 0.0003 393 35 145 4 130 3 95 0.0024 0.1640 0.0106 0.0211 0.0062 0.0004 471 97 154 9 134 3 125 0.0050 0.1683 0.0211 0.0006 0.0059 0.0004 391 212 149 16 134 4 120 0.0195 0.1425 0.0199 0.0009 0.0053 0.0008 287 683 135 52 127 4 120 0.0239 0.2614 0.0787 0.0202 0.0011 0.0055 0.0010 1509 563 234 180 22 133 4 132 0.0274 0.0263 0.0010 0.0066 0.0006 0.0010 331 754 141 60 132 18 0.0271 0.0203 0.0010 0.0066 0.0010 331	0.74	_	0.0576	0.0120	0.1626	0.0388		0.0007	0.0062	0.0005	515	431	153	34	131	5	124	11
0.0004 471 97 154 9 134 3 125 0.0004 391 212 149 16 134 4 120 0.0008 287 683 135 52 127 5 107 0.0010 1509 563 236 63 129 7 110 0.0006 855 244 180 22 133 4 132 0.0010 331 754 141 60 130 6 165 0.0005 -321 293 108 23 132 4 114	1.36		0.0545		0.1534		0.0204			0.0003	393	35	145	4	130	۳,	95	S
0.0004 391 212 149 16 134 4 120 0.0008 287 683 135 52 127 5 107 0.0010 1509 563 236 63 129 7 110 0.0006 855 244 180 22 133 4 132 0.0010 331 754 141 60 130 6 165 3 0.0005 -321 293 108 23 132 4 114	1.29		0.0565		0.1640			9000'0	0.0062	0.0004	471	26	154	6	134	3	125	0 0
0.0008 287 683 135 52 127 5 107 0.0010 1509 563 236 63 129 7 110 0.0006 855 244 180 22 133 4 132 0.0010 331 754 141 60 130 6 165 0.0005 -321 293 108 23 132 4 114	1.45	_	0.0545	0.0050	0.1583			0,0006	0.0059	0.0004	391	212	149	16	134	4	120	œ
0.0010 1509 563 236 63 129 7 110 0.0006 855 244 180 22 133 4 132 0.0010 331 754 141 60 130 6 165 0.0005 -321 293 108 23 132 4 114	0.56	_	0.0520	0.0195	0.1425			600000		0.0008	287	683	135	52	127	5	107	91
0.0006 855 244 180 22 133 4 132 0.0010 331 754 141 60 130 6 165 0.0005 -321 293 108 23 132 4 114	0.68				0.2614	0.0787			0.0055	0.0010	1509	563	236	63	129	7	110	19
0.00010 331 754 141 60 130 6 165 0.00005 -321 293 108 23 132 4 114	08.0	_	92900	0.0074	0.1944		0.0209	0.0006	0.0066	0.0006	855	244	180	77	133	4	132	11
0.0005 -321 293 108 23 132 4 114	0.61		0.0530	0.0221	0.1485			0.0010	0.0082	0.0010	331	754	141	8	130	9	165	20
	0.87	_	0.0395	0.0076	0.1126	0.0247	0.0207	0.0006	0.0057		-321	293	108	23	132	4	114	10

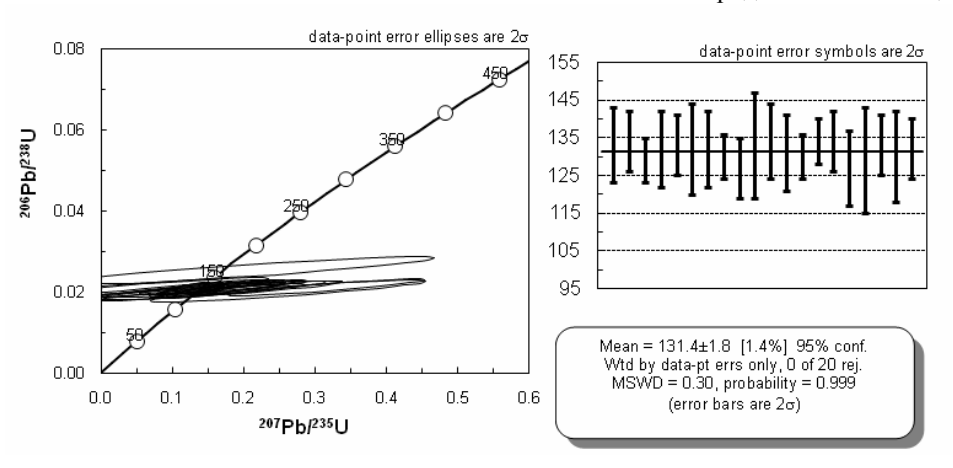
Продолжение таблицы 5



Продолжение таблицы 6



Продолжение таблицы 7



При наличии Rb-Sr и U-Pb изотопных датировок одних и тех же пород предпочтение нами, как и в современной специальной литературе, отдается U-Pb (LA-ICP-MS) изотопным датировкам.

Обсуждение

Анализ геолого-структурных и петрографо-минералогических особенностей Цавского массива позволяет выделить в его составе, в отличие от существующих представлений, породы трех фаз. Породы І фазы представлены плагиоклаз-пироксен-роговообманковыми габбро, диоритами, кварцевыми диоритами, тоналитами, монцодиоритами, монцонитами, кварцевыми диоритами, породы II фазы – биотит-роговообманковыми гранодиоритами и гранитами, породы Шфазы – лейкократовыми гранитами, редко лейкократовыми кварцевыми монцонитами. При этом граниты III фазы, в отличие от гранитов II фазы, характеризуются отчетливо лейкократовым обликом при почти полном отсутствии цветных минералов. Присутствие сиенитов, кварцевых сиенитов, сиенито-диоритов в одном случае среди пород І фазы (Тер-Месропян, Мкртчян, Паффенгольц), в другом-среди пород II фазы (Багдасарян и др.) нами не отмечено, отсутствие же соответствующих анализов, подтверждающих присутствие пород сиенитового ряда, как и соотношение K₂O+Na₂O-SiO₂ в приведенных нами анализах (см. табл. 1) и на соответствующей диаграмме (см. рис.1в) свидетельствует об отсутствии пород сиенитового ряда в составе Цавского интрузива.

Существенный разброс состава пород I фазы объяснялся их гибридным характером, обусловленным ассимиляцией исходным расплавом кислого состава вмещающих вулканитов средне-основного состава (Баласанян, 1963; Казарян, 1966). Не вдаваясь в дискуссию по петрологии Цавского интрузива, ввиду давности отмеченных представлений и отсутствия необходимых геохимических данных для ее обсуждения на современном уровне, отметим лишь проблематичность предложенного механизма в энергетическом аспекте, а выявленные значения $^{87}/^{86}\mathrm{Sr}_{\mathrm{i}}$ для пород II и III фаз (0.70398±0.00038 и 0.70375±0.00011), соответствуют базитовому, но никак не гранитному источнику исходного расплава.

Результаты Rb-Sr и U-Pb датировок пород различных фаз интрузива указывают на их одновозрастность (нижний мел) и не подтверждают K-Ar эоценовую датировку II фазы интрузива (Багдасарян и др., 1970). Существенное несоответствие этих датировок возможно связано с минеральным составом анализированных пород, так как общепризнанно, что наибольшая сохранность радиогенного аргона отмечается в кристаллической решетке роговых обманок и слюд и падает к K-Na полевым шпатам и стеклу (Wetherill et al., 1955; Герлинг, 1961; Старик, 1961; Evernden et al., 1964 и др.). В этом аспекте отсутствие роговых обманок и слюд в породах III фазы обуславливает нахождение радиогенного аргона лишь в K-Na полевых шпатах лейкократовых гранитов и возможно это обстоятельство является одной из причин эоценовых значений K-Ar датировок. Сопоставление результатов Rb-Sr и U-Pb датировок пород II и III фаз интрузива свидетельствует о несколько более молодых

значениях Rb-Sr датировок (единая изохрона 118.4±1.9 Ma) сравнительно с U-Pb значениями (~129÷131 Ma).

Немаловажный интерес представляет сравнительная характеристика Цавского и Кохб-Шнохского интрузивных комплексов, рассматриваемых обычно как одновозрастные и однотипные образования в пределах либо единой юрско-нижнемеловой Сомхето-Кафанской эвгеосинклинали или Алаверди-Кафанской металлогенической зоны, либо — самостоятельных Сомхето-Карабахской и Капанской структурных зон. Rb-Sr изохронные датировки тоналитов и кварцевых диоритов I фазы и лейкократовых гранитов II фазы Кохб-Шнохского интрузива — соответственно 164±6 Ма и 156±3 Ма (Мелконян, Гукасян, 2004) и U-Pb датировка тех же пород — 152±5 Ма и 153±5 Ма (неопубликованные данные) свидетельствуют об их верхнеюрском возрасте, в то время как соответствующие вышеприведенные датировки Цавского массива указывают на их нижнемеловой возраст (разница в возрасте ~23 Ма).

Согласно геохимическим особенностям (главные элементы) оба интрузива относятся к известково-щелочным сериям (см. рис. 1а), однако по соотношению K_2O-SiO_2 (см. рис. 1б) и $Na_2O+K_2O-SiO_2$ (см. рис. 1в) на соответствующих диаграммах они занимают различное положение^{х)}. Так, если породы Цавского интрузива по содержанию К2О занимают верхнюю и среднюю части среднекалиевого поля, то породы Кохб-Шнохского интрузива - его нижнюю часть и низкокалиевое поле, а розовые граниты II фазы верхнюю часть среднекалиевого и высококалиевое поле. В составе Цавского массива определенное значение имеют монцонитоидные разности, в то время как Кохб-Шнохский интрузив сложен в основном породами нормальной щелочности, а лейкократовые граниты ("розовые граниты") поздней фазы, по сравнению с таковыми Цавского интрузива, характеризуются более высокими содержаниями SiO₂ и в некоторых случаях суммы щелочей. Таким образом, рассмотренные интрузивы как по возрасту, так и по особенностям своего вещественного состава довольно существенно отличаются друг от друга и не могут считаться одновозрастными и однотипными образованиями.

С учетом ранее высказанных предположений о наличии южнее Севано-Акеринской сутуры в юрско-раннемеловое время зоны спрединга с двусторонней субдукцией — на север под Сомхето-Карабахскую зону и на юг под Капанскую зону (Хаин, 1975; Засеев, Абрамович, 1993; Мелконян и др., 2000), либо — о наличии второй зоны субдукции — Спитакско-Капанской (Галоян и др., 2013), выявленные возрастные и вещественные различия Цавского и Кохб-Шнохского интрузивов находят свое объяснение.

Выводы

_

Для Кохб-Шнохского интрузивного комплекса использованы анализы главных элементов из монографии Р.Л.Мелконяна "Петрология, минералогия и геохимия интрузивных комплексов Алавердского рудного района". Ереван, изд. АН Армянской ССР, 1976, с. 137-239, в кн.: Б.М.Меликсетян, Р.Л.Мелконян, "Петрология и геохимия интрузивных комплексов некоторых рудных районов Армянской ССР".

- 1. Цавский интрузивный комплекс является полифазным образованием, в сложении которого участвуют породы трех фаз, представленных, в основном, плагиоклаз-пироксен-роговообманковыми габбро, габбродиоритами, кварцевыми диоритами, тоналитами, монцодиоритами, монцонитами (I фаза), плагиоклаз-биотит-роговообманковыми гранодиоритами и гранитами (II фаза), лейкократовыми гранитами (III фаза).
- 2. Результаты U-Pb и Rb-Sr датировок пород различных фаз свидетельствуют об их едином нижнемеловом возрасте и отсутствии разностей эоценового возраста.
- 3. Цавский и Кохб-Шнохский интрузивные комплексы сформированы в различных временны х интервалах соответственно раннемеловом и позднеюрском (с разницей ~23 Ма), в пределах самостоятельных геолого-тектонических структур Капанской и Сомхето-Карабахской, и характеризуются определенной спецификой своего вещественного состава.

ЛИТЕРАТУРА

Акопян В.Т. Стратиграфия юрских и меловых отложений Зангезура. Ереван, изд. АН Арм.ССР, 1962, 264 с.

Асланян А.Т. Региональная геология Армении. Ереван, Айпетрат, 1958, 430 с.

Ачикгезян С.О., Зограбян С.А., Карапетян А.И., Мирзоян Г.Г., Саркисян Р.А., Зарьян Р.Н. Кафанский рудный район. Ереван, изд. АН Арм.ССР, 1987, 198 с.

Багдасарян Г.П., Гукасян Р.Х., Саркисян Э.А. Новые данные о возрасте интрузивов Кафанского рудного района Армянской ССР. Док. АН АрмССР, 1970, т. 50, N 5, c. 288-291.

Баласанян С.И. Интрузивный магматизм Сомхето-Кафанской зоны (Малый Кавказ). Ереван, изд. Ереван.гос. универс., 1963, 464 с.

Бурштейн Л.Е., Успенская Е.А., Чуркин П.А. Новые данные по геологии Цавского интрузивного массива. Изв. вузов. Геология и разведка, 1987, N 6, с. 105-107.

Галоян К.Л., Мелконян Р.Л., Чунг С.-Л., Хоренян Р.А., Атаян Л.С., Юнг Ч.-Х., Амирагян С.В. К петрологии и геохимии юрских островодужных магматитов Карабахского сегмента Сомхето-Карабахского террейна. Изв. НАН РА, Науки о Земле, 2013, N 1, с. 3-22.

Герлинг Э.К. Современное состояние аргонового метода определения возраста и его применение в геологии. М.-Л., изд. АНСССР, 1961, 131 с.

Графические методы изотопной геологии. Москва, Недра, 1974, 185-190.

Грушевой В.Г. Интрузивные породы юго-восточной части Армянской ССР и восточной части Нахичеванской АССР (Мегринский, Кафанский и Ордубадский р-ны). В кн. : Интрузивы Закавказья. Тр. Груз. гос. геол. упр., вып. II. Тбилиси, изд. Техника да Шрома, 1941, с. 62-91.

Засеев В.Г., Абрамович И.И. Юрско-меловая петрохимическая зональность Сомхето-Карабахской остороводужной системы (Малый Кавказ). Геотектоника, 1993, N 2, с. 47-53.

Казарян Г.А. Цавский массив. В кн. : Геология Армянской ССР, т. 3. Петрография Интрузивные породы. Ереван, изд. АН Арм.ССР, 1966, с. 461-476.

Магакьян И.Г. Металлогения Армении. Ереван, изд. АН Арм.ССР, 1954, 317 с.

Малхасян Э.Г. Данные об абсолютном возрасте Цавского интрузива. Докл. АН Арм.ССР, 1957, т. 25, N 4, с. 219-220.

Мелконян Р.Л., Гукасян Р.Х., Таян Р.Н., Арутюнян М.А. Геохронология монцонитов Мегринского плутона (Армения) – результаты и следствия. Изв. НАН РА, Науки о Земле, 2008, N 2, c. 3-9.

Мелконян Р.Л., Хоренян Р.А. Тоналитовая формация. В кн. : Магматические и метамофрические формации Армянской ССР. Ереван, изд. АН Арм.ССР, 1981, с. 97-107.

Мирошникова О.В., Сепоян Р.П., Халатян А.А., Шопин Ю.Г. Основные элементы тектоники Кафанского рудного района по геофизическим данным. Изв. АН Арм.ССР, Науки о Земле, 1976, N 2, c. 41-50.

- **Мкртчян С.С.** Нижнемеловые (дотуронские?) интрузии. В кн. : Мкртчян С.С. Зангезурская рудная область Армянской ССР. Ереван, изд. АН Арм.ССР, 1958, с. 139-143.
- **Паффенгольц К.Н.** Очерк магматизма и металлогенни Кавказа. Ереван, изд. АН Арм.ССР, 1970, 432 с.
- **Соловкин А.Н.** Интрузивные массивы Зангелана (бассейн р.Басутчай). В кн. : Геология Азербайджана. Петрография. Баку, изд. АН Азерб. ССР, 1952, с. 493-500.
- Старик И.Е. Ядерная геохронология. М.-Л., изд. АНСССР, 1961, 630 с.
- **Хаин В.Е.** Основные этапы тектоно-магматического развития Кавказа: опыт геодинамической интерпретации. Геотектоника, 1975, N 1, c. 13-27.
- **Evernden J.F., Savage D.E., Curtis G.H., James G.T.** Potassium-Argon dates and the Cenozoic Mammalian Chronology of North America. Amer. Journal Sci., 1964, 262, N 2, p. 145-198.
- Le Maitre R.W., Bateman P., Dudek A. et al. A classification of igneous rocks and glossary of terms. Recommendations of the International Union of Geological Sciences. Subcommission on the Systematics of Igneous Rocks. Blackwell Scientific, Publications, 1989, 193p.
- **Ludwig K.R.** User's manual for ISOPLOTE/ Exversion 2.01. Berkeley Geochronology Center, 1999, 47p.
- McIntyre G., Brooks C., Compston W. et al.The statistical assessment of Rb-Sr isochrons. J.Geophys. Res., 1966, 71, N 22, p. 5459-5486.
- Mederer J., Moritz R., Ulianov A., Chiaradia M. Middle Jurassic to Cenozoic evolution of arc magmatism during Neotethis subduction and arc-continent collision in the Kapan Zone, southern Armenia. Lithos, 2013, 177, p. 61-78.
- **Middlemost, E.A.K.** Naming materials in the magma/igneous rock system. Earth-Sci. Rev. 1994, 37, p. 215-224.
- York D. Least-squares fitting of straight line. Can. J. Phys., 1966, 44, N 5, p. 1079-1086.

ԾԱՎԻ ԻՆՏՐՈՒԶԻՎ ՀԱՄԱԼԻՐԻ ԵՐԿՐԱԲԱՆՈՒԹՅՈՒՆԸ ԵՎ ԻՉՈՏՈՊԱՅԻՆ ՀԱՍԱԿԱԳՐՈՒՄԸ (Հարավային Հայաստան, Կապանի տերեյն)

(Հարավայրս Հայաստաս, Կապասր տերեյս)

Ռ.Լ. Մելքոնյան, Ս.-Լ. Չունգ, Ռ.Խ.Ղուկասյան, Ղ.Լ. Գալոյան, Ռ.Հ. Խորենյան, Լ.Ս. Աթայան

Ամփոփում

Քննարկվել են Կապանի տերեյնի առավել խոշոր (~65 քառ. կմ) Ծավի ինտրուզիվ համալիրի երկրաբանության և իզոտոպային հասակագրման հարցերը։ Պարզվել է նրա եռափուլ կառուցվածքը. I փուլ՝ պլագիոկլազ-պիրոքսեն-հորնբլենդային գաբրոներ, գաբրոդիորիտներ, դիորիտներ, մոնցոդիորիտներ, մոնցոնիտներ, II փուլ՝ պլագիոկլազ-բիոտիտ-հորնբլենդային գրանոդիորիտներ և գրանիտներ, III փուլ՝ լեյկոկրատային գրանիտներ։ Ինտրուզիվի U-Pb հասակը՝ 131.4±1.4 Ma (I փուլ), 129.5±1.7 Ma (II փուլ), 131.4±1.8 Ma (III փուլ), Rb-Sr իզոքրոնային հասակը՝ 118.4±1.9 Ma, MSWD=1.08, 87/86Sr_i=0.70375±0.00011 վկայում են նրա ստորին կավձի հասակի և Էոցենի հասակի տարբերակների բացակայության մասին։

Ծավի զանգվածը և Կողբ-Շնողի ինտրուզիվ համալիրը (Սոմխեթա-Ղարաբաղի հյուսիսային հատված), որը բնորոշվում է՝ I փուլ՝ 152±5 Ma (տոնալիտներ, քվարցային դիորիտներ), 153±5 Ma (II փուլ՝ լեյկոկրատային «վարդագույն» գրանիտներ) U-Pb հասակով, նախկինում դիտարկվում էին որպես նույն հասակի և նույն տիպի առաջացումներ, ձևավորվել են տարբեր ժամանակահատվածներում (համապատասխանաբար վաղկավիձ և ուշ յուրա), ~23 Ma տարբերությամբ, ինքնուրույն երկրաբանա-

տեկտոնական կառուցվածքներում՝ Կապանի և Սոմխեթա-Ղարաբաղի և բնորոշվում են իրենց նյութական կազմի տարբեր առանձնահատկություններով։

THE GEOLOGY AND ISOTOPE DATING OF THE TSAV INTRUSIVE COMPLEX (Southern Armenia, Kapan terrain)

R. L. Melkonyan, S.-L. Chung, R. Kh. Ghukasyan, Gh. L. Galoyan, R. H. Khorenyan, L.S. Atayan

Abstract

The article discusses the geological and isotope dating questions of Kapan terrain larger (\sim 65 sq/km) Tsav intrusive complex. Its ternary phase structure has been identified: I phase – plagioclase-pyroxene-hornblendite gabbros, gabbrodiorites, diorites, monzodiorites, monzonites; II phase – plagioclase-biotite-hornblendite granodiorites and granites, III phase – leucocratic granites. The U-Pb age of the intrusive is 131.4±1.4Ma (I phase), 129.5±1.7Ma (II phase), 131.4±1.8Ma (III phase) and the Rb-Sr isochrones age is 118.4±1.9Ma, MSWD=1.08, $^{87}/^{86}{\rm Sr_i}$ =0.70375±0.00011, which attests to the absence of the Eocene age options and its lower chalk age.

The Tsav mass and the Koghb-Shnogh intrusive complex (Northern section of Somkheta-Kharabakh) which is characterized by: 152±5Ma (I phase – tonalities, quartz diorites), 153±5Ma (II phase – leucocratic "pink" granites) U-Pb age, were formerly looked upon as formations of the same age and same type. They have been formed during different time spans (early chalk and late Jura consecutively), with a difference of ~23 Ma, in the independent geological-tectonic structures of Kapan and Somkheta-Kharabakh and are characterized by the different characteristics of their substantial structure.